

ANNEXE III: LITHOGÉOCHIMIE DES INTRUSIFS FELSIQUES DE BELLETERRE

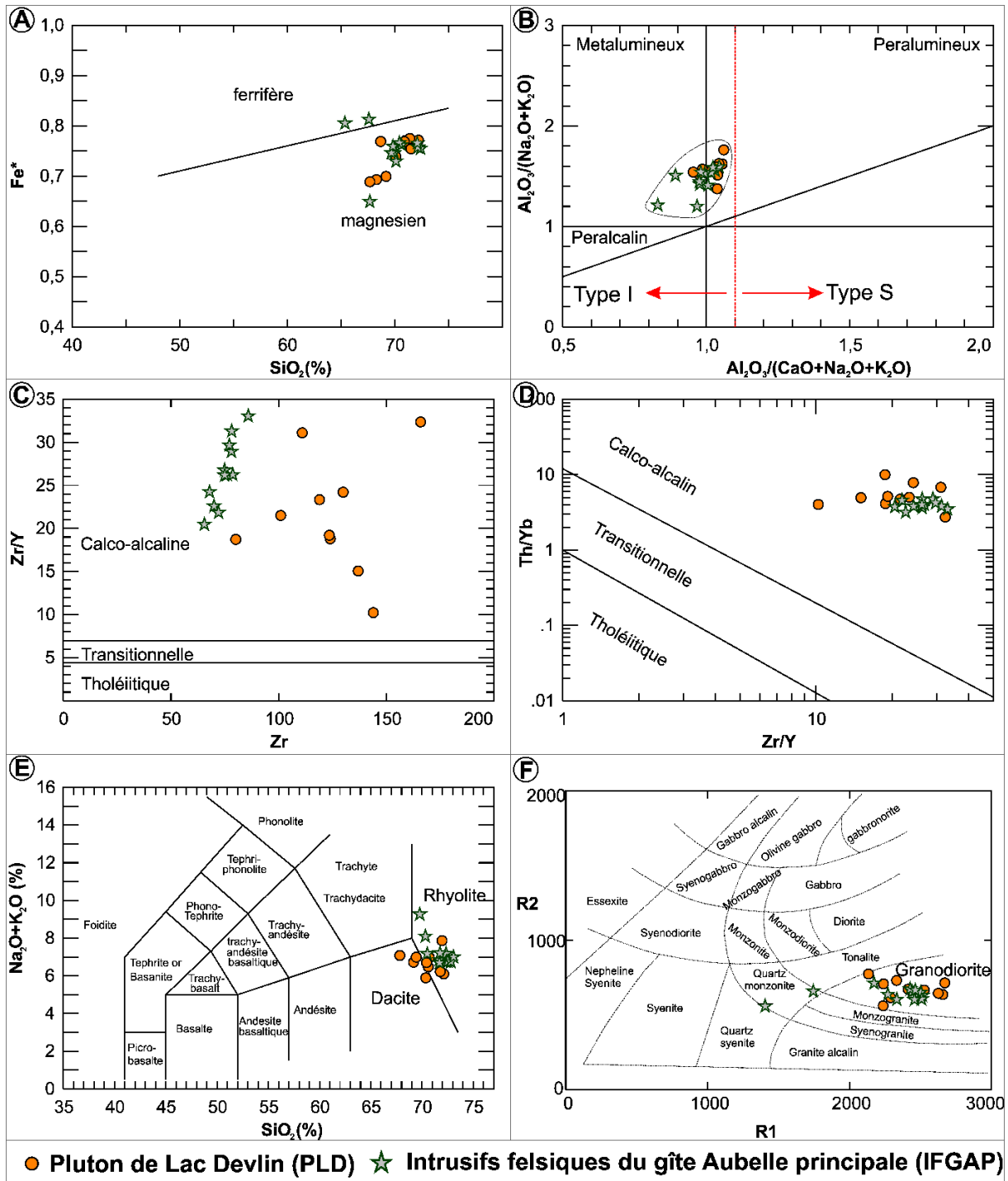


Figure III-1: Caractérisation géochimique des intrusifs felsiques associés aux veines de quartz aurifères de Belleterre. (A) Diagramme de Frost et al. (2008). (B) Diagramme de discrimination de roches volcaniques felsiques de Maniar et Picolli (1989) (C) Diagramme de Barrett et MacLean (1994). (D) Diagramme de Ross et Bédard (2009). (E) Diagramme de Le Bas et al. (1986). et (F) Diagramme de Roche et al. (1980).

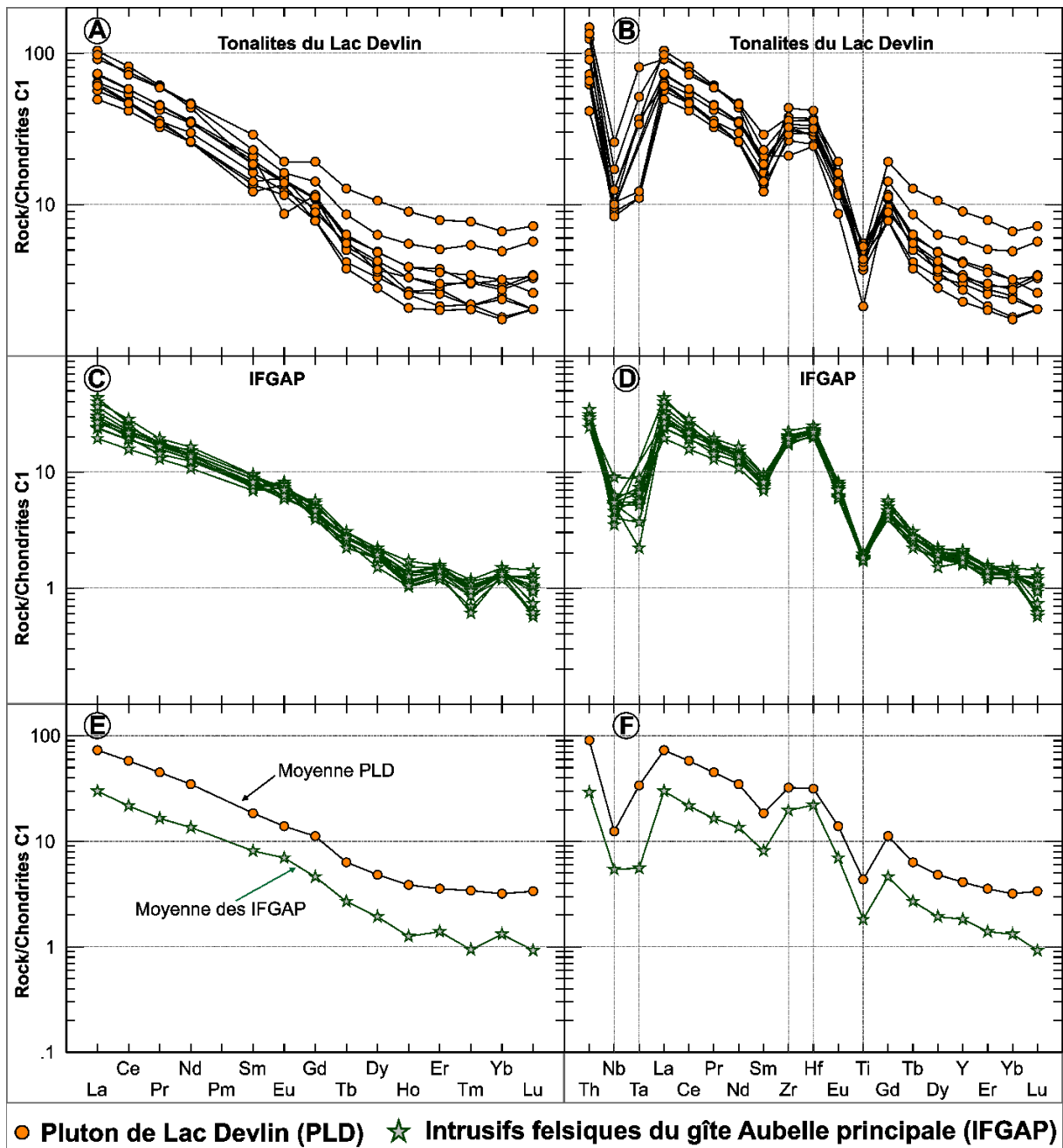


Figure III-2: Spectres des terres rares et multi-éléments des intrusifs felsiques. Abondances normalisées aux valeurs chondritiques de McDonough et Sun (1995).

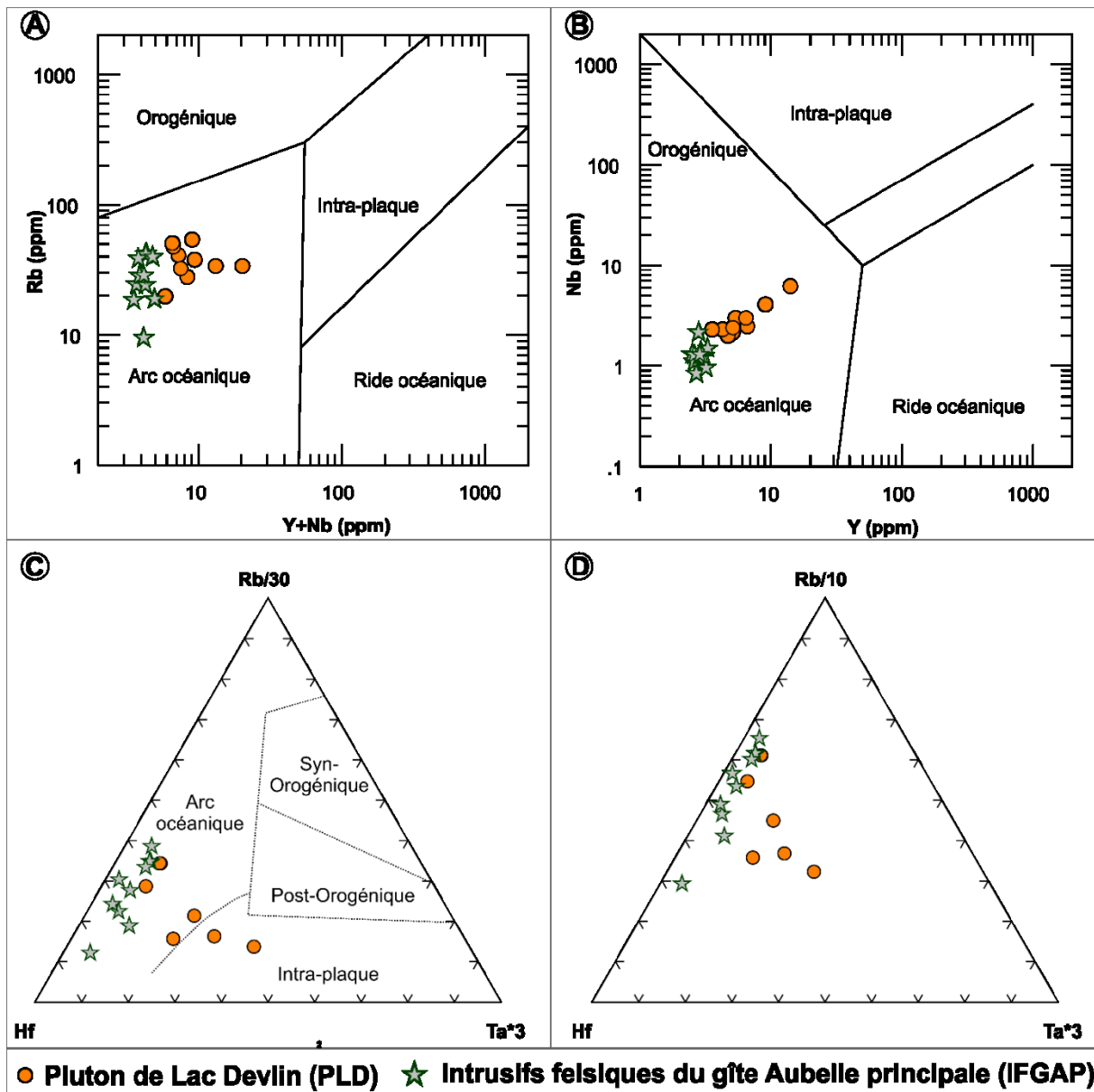


Figure III-3: Contexte tectonique des intrusifs felsiques de Belleterre. (A) et (B) Diagrammes de discrimination tectonique Nd vs Y et Ta vs Yb des granites de Pearce et al. (1984). (C) et (D) Diagramme de Harris et al. (1986).